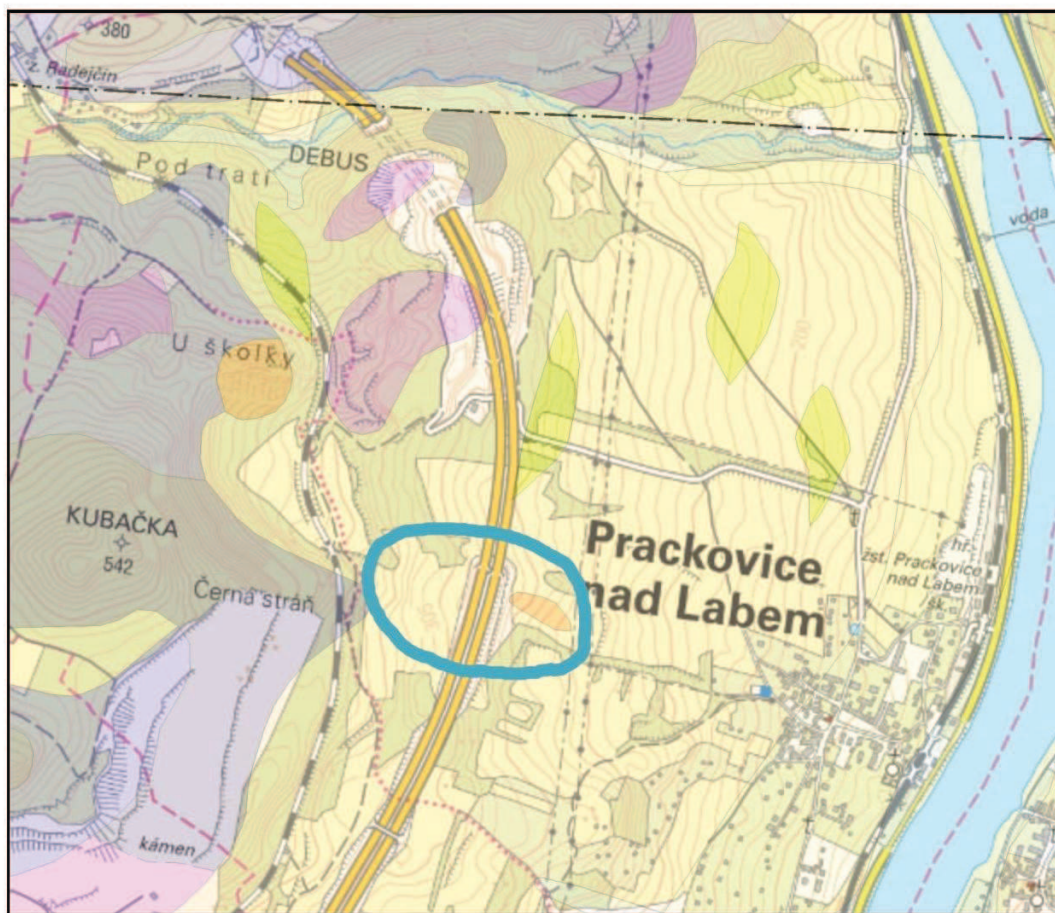


# Přílohy



0 0,2 0,4 0,6 0,8 km

© Česká geologická služba

## Hranice geologických jednotek

— hranice zjištěná

-- hranice pravděpodobná

### Geologická jednotka

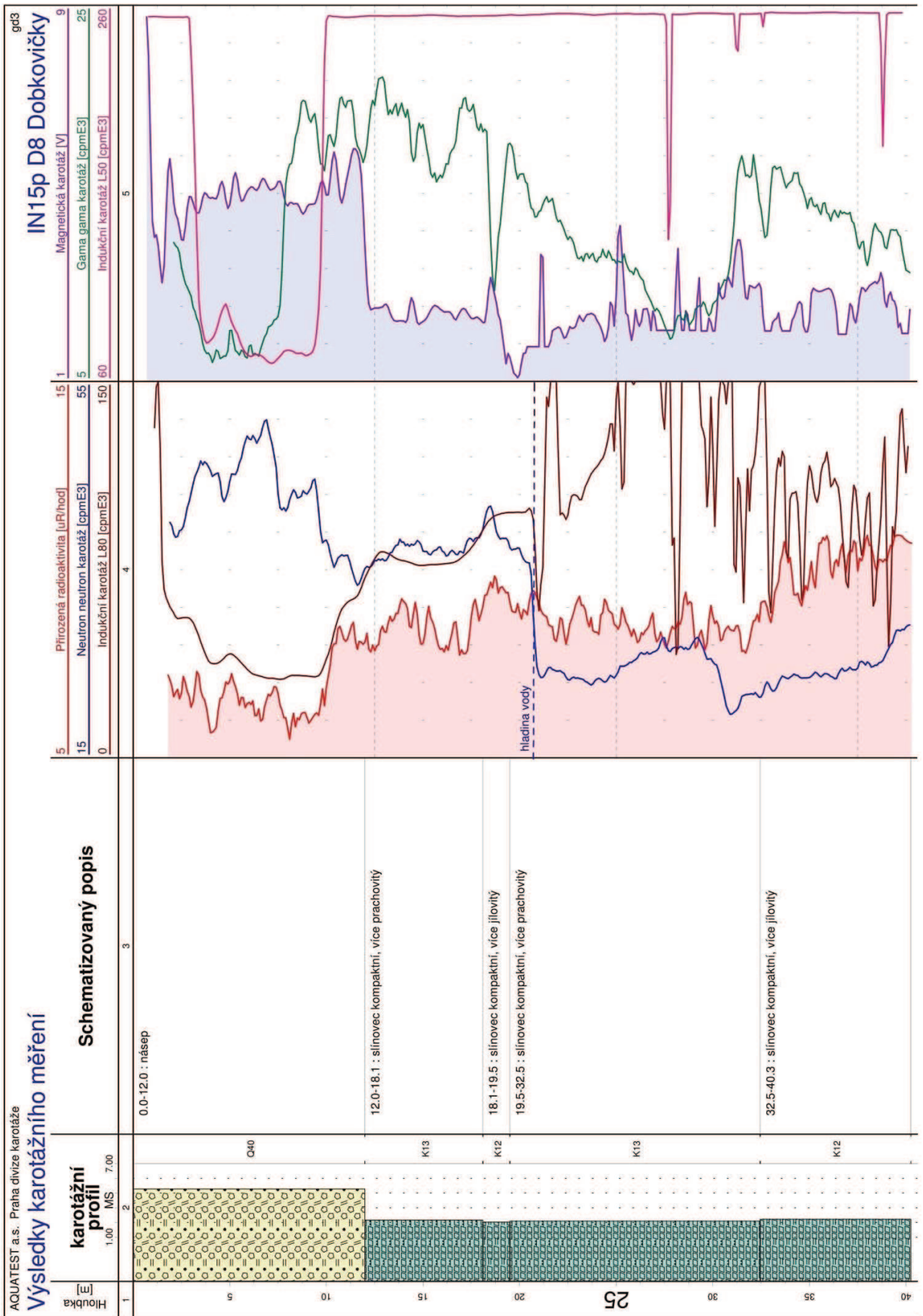
6	nivní sediment	7	smíšený sediment
12	písčito-hlinitý až hlinito-písčitý sediment	17	spraš a sprašová hlína
13	kamenitý až hlinito-kamenitý sediment	26	písek, štěrky
164	trachyty a sodalické trachyty	169	bazaltoidy nerozlišené
170	silne alterované (autometamorfované) bazaltoidy	183	alk. ol. bazalt - bazanit - limburgit
210	alk. bazalt - tefrit - augitit (analcimický)	193	olivinický nefelinit, analcimit a 'leucitit'
235	analcim., apoleucit., sodalické tefrity a trachybazalty		
252	pyroklastika bazaltoidních (příp. trachybazaltických) hornin		
258	tufity, ojediněle s polohami diatomitu a nebo uhelných sedimentů		
278	pískovce arkózovité, jílovité až křemenné s vložkami a závalky jílovců a prachovců		
281	vápnité jílovce, slínovce, vápnité prachovce	287	silicifikované jílovité vápence a slínovce

Příloha 1: Výřez z geologické mapy s legendou pro zájmovou oblast (vyznačena modře) a její okolí. Vytvořeno ve webových aplikacích ČGS









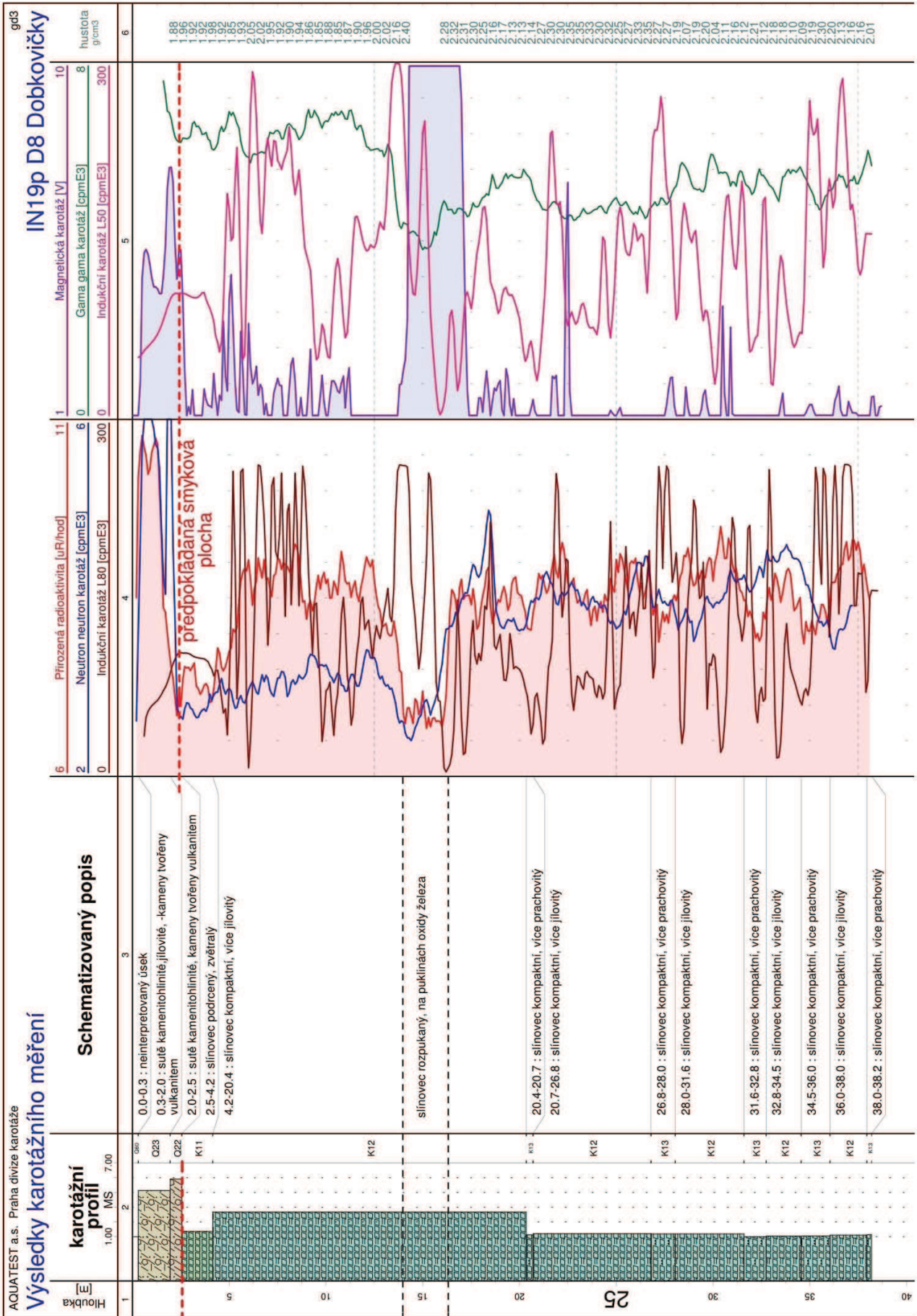
Příloha 4: Výsledky karotážního měření ve vrtu IN15p



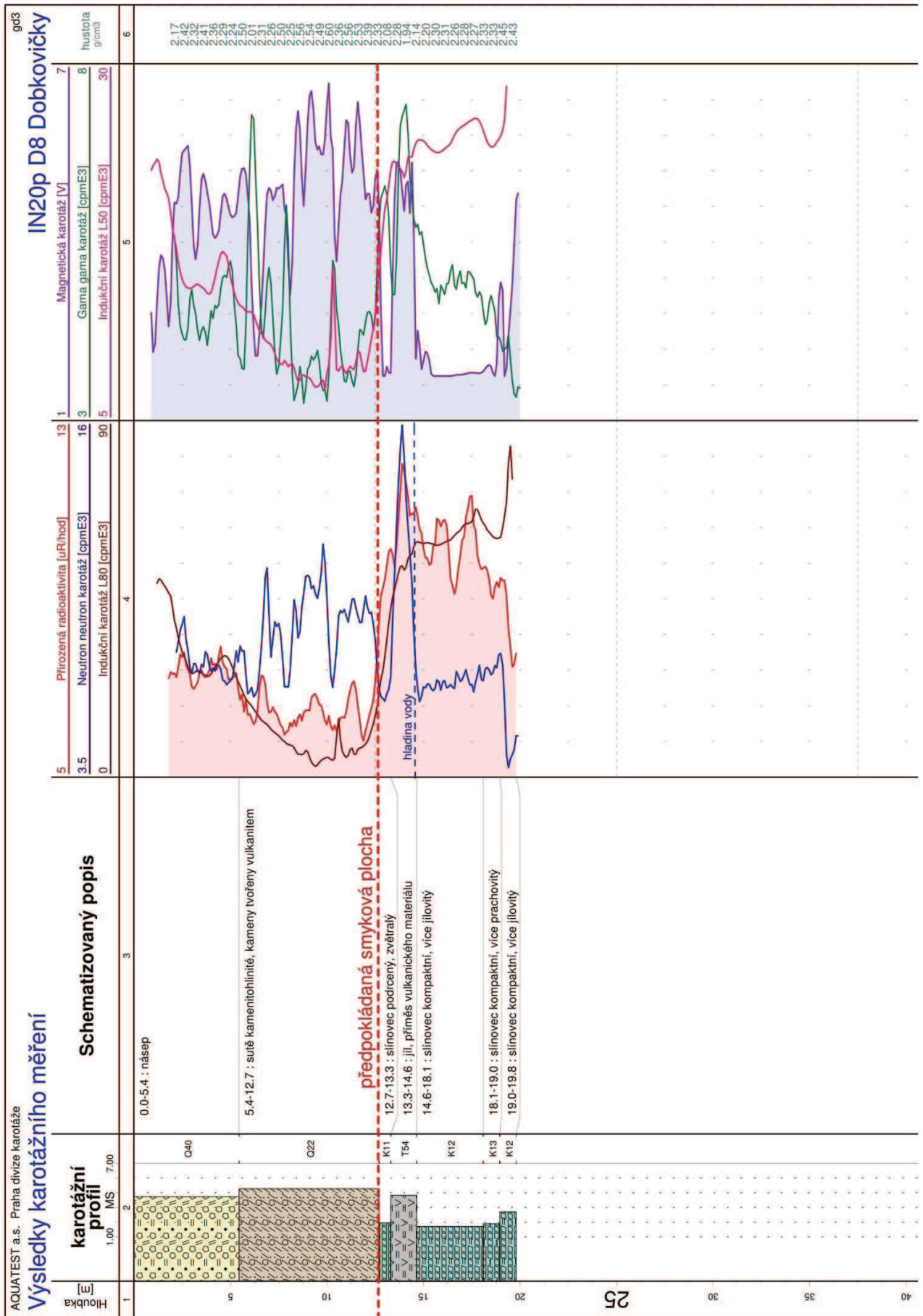






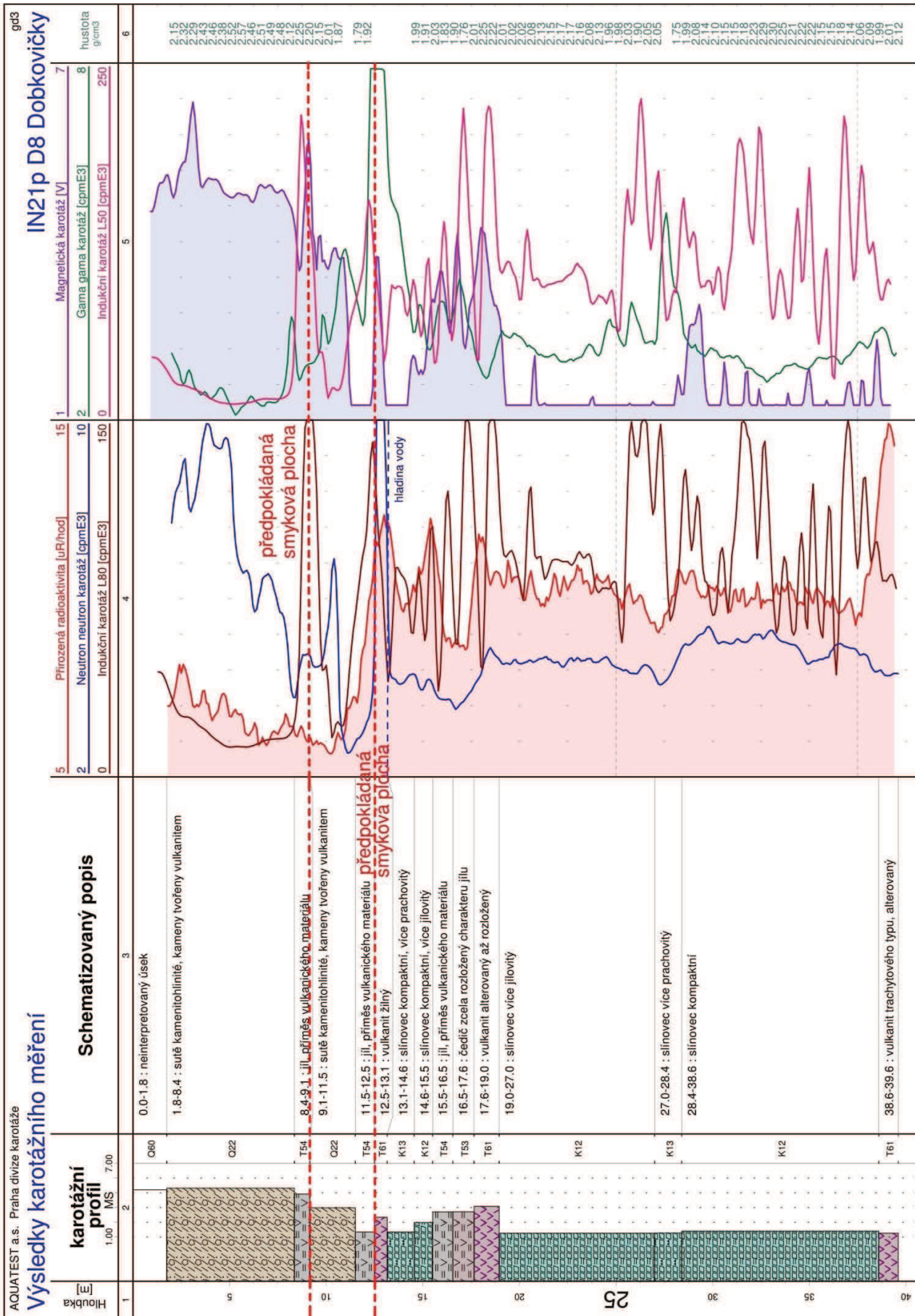


Příloha 7: Výsledky karotážního měření ve vrtu IN19p

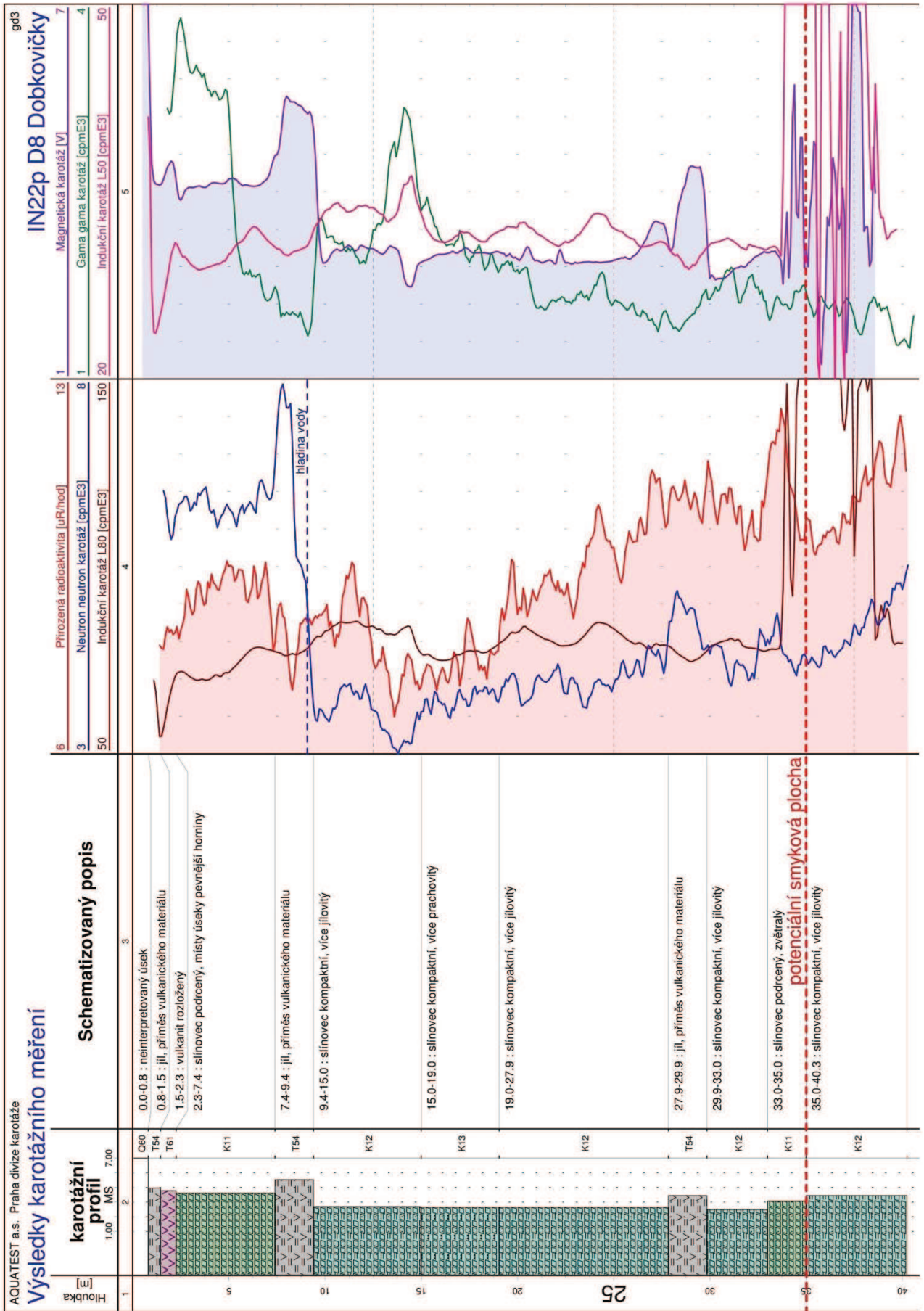


Příloha 8: Výsledky karotážního měření ve vrtu IN20p



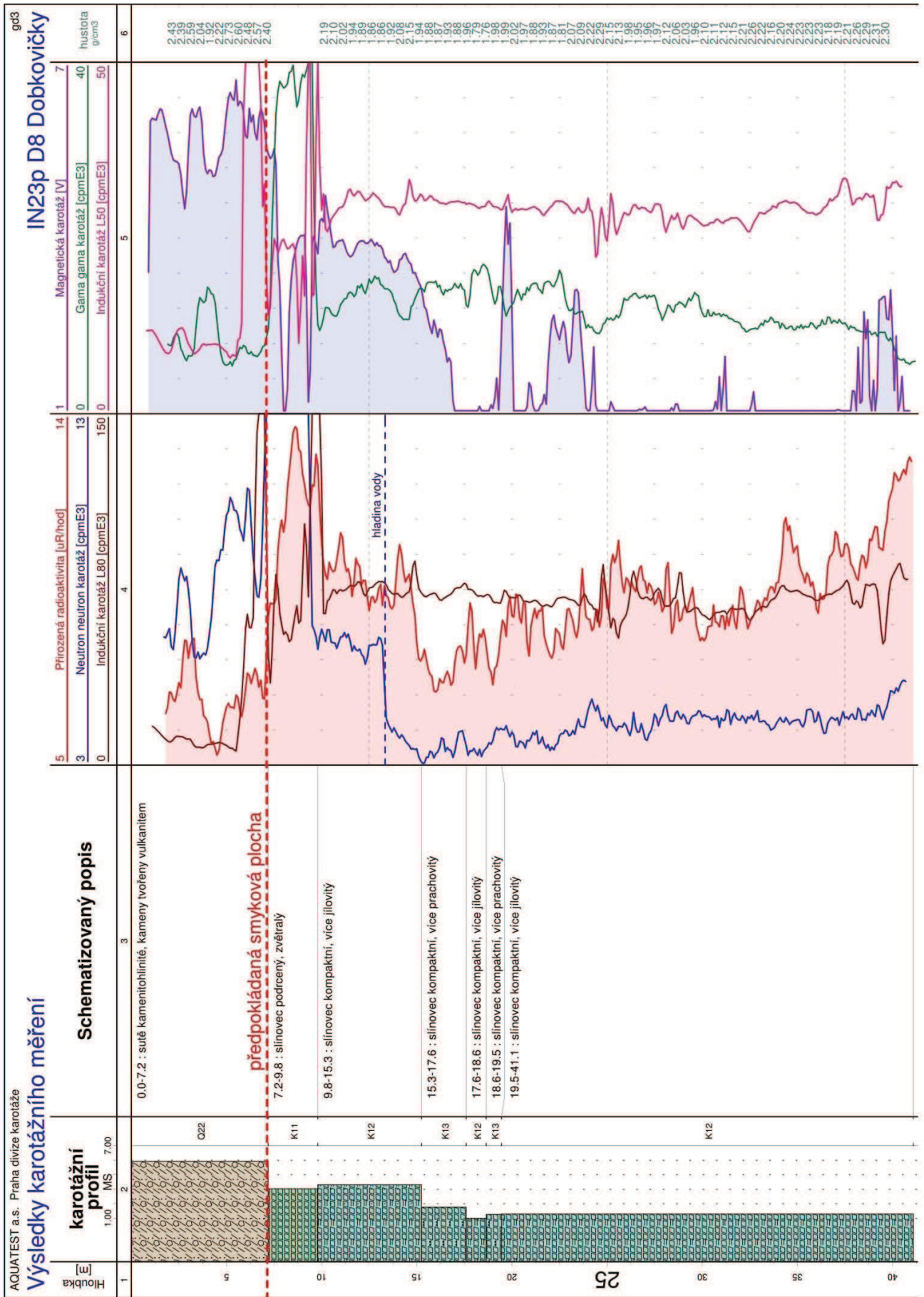


Příloha 9: Výsledky karotážního měření ve vrtu IN21p

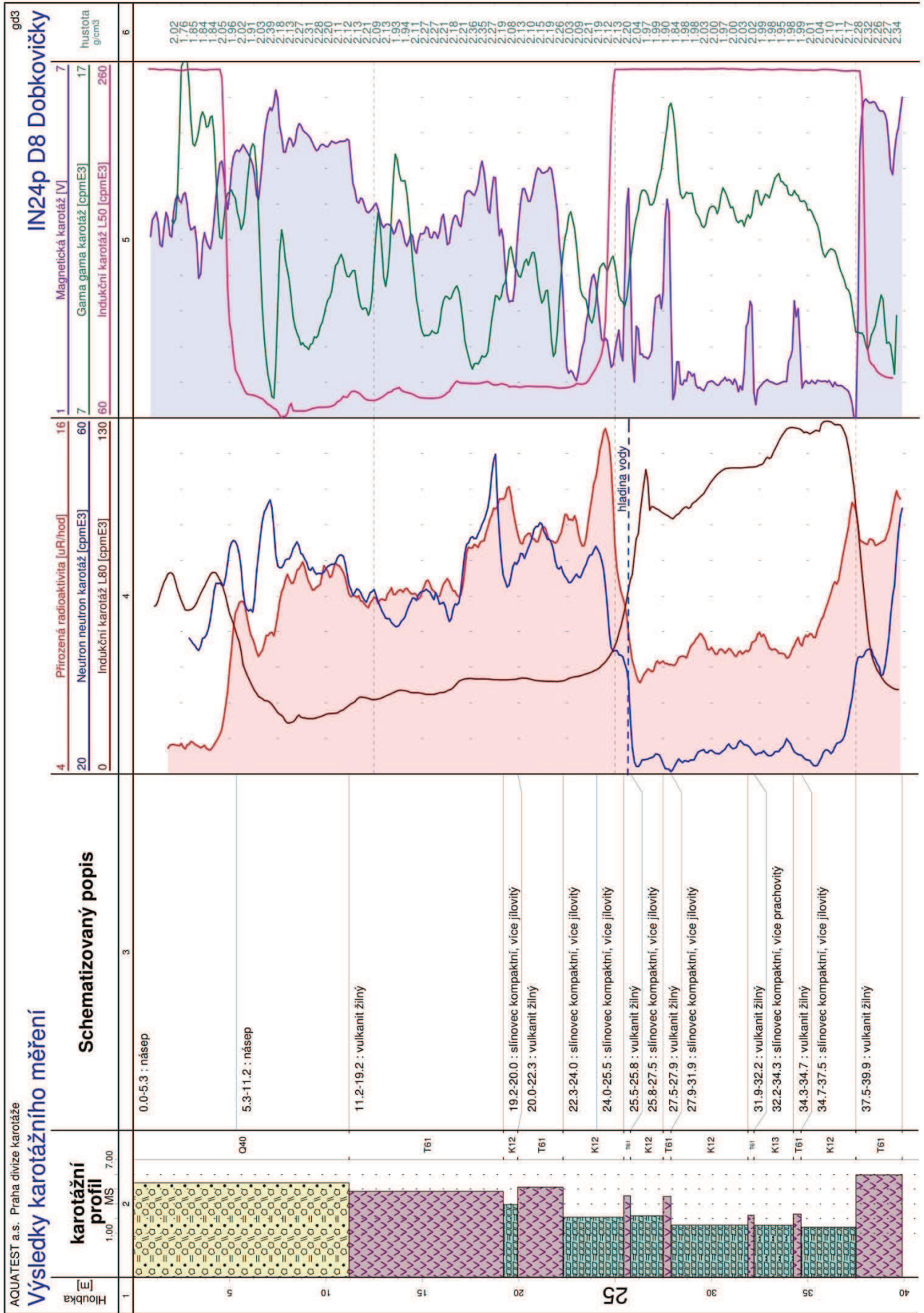


Příloha 10: Výsledky karotážního měření ve vrtu IN22p



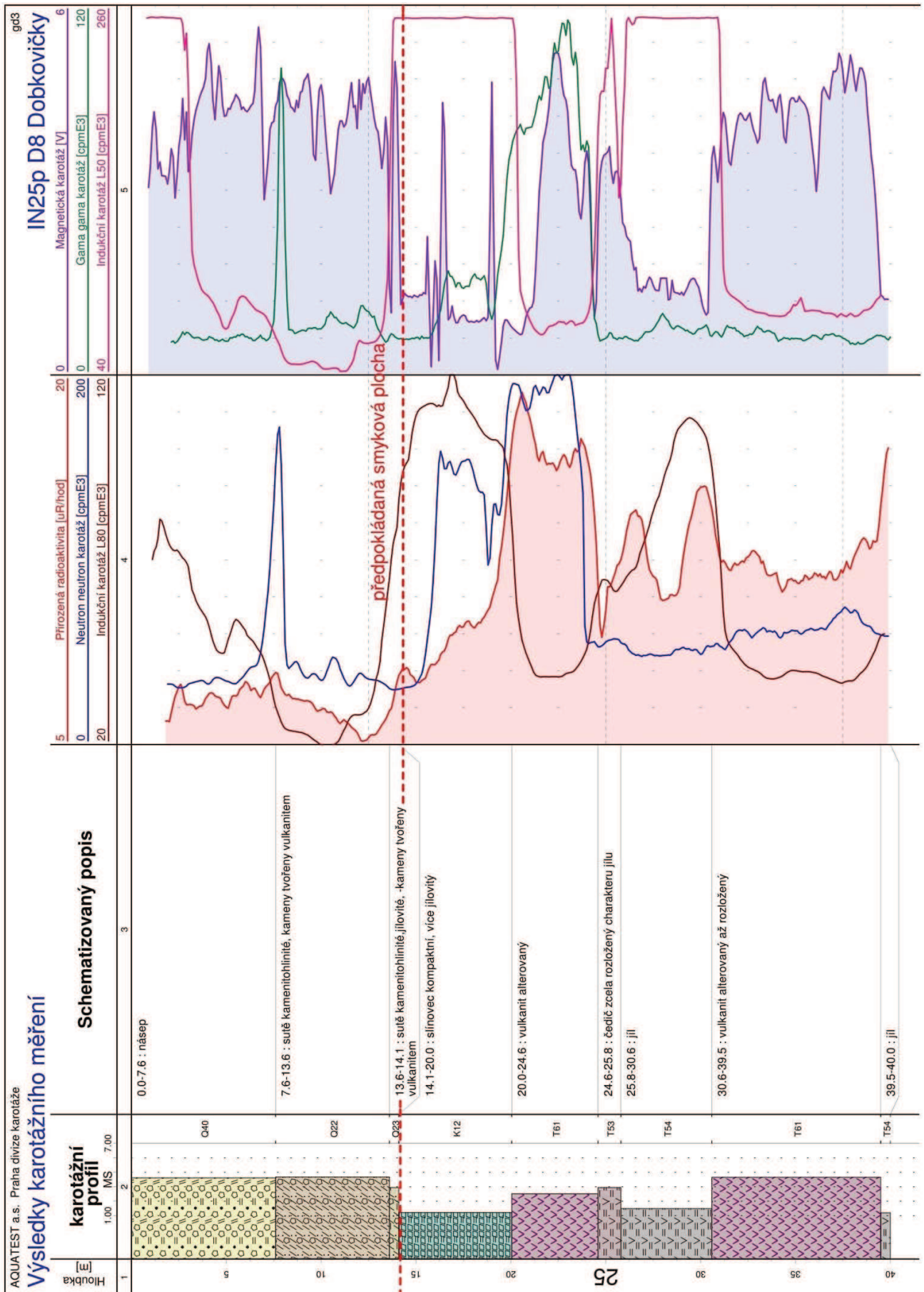


Příloha 11: Výsledky karotážního měření ve vrtu IN23p

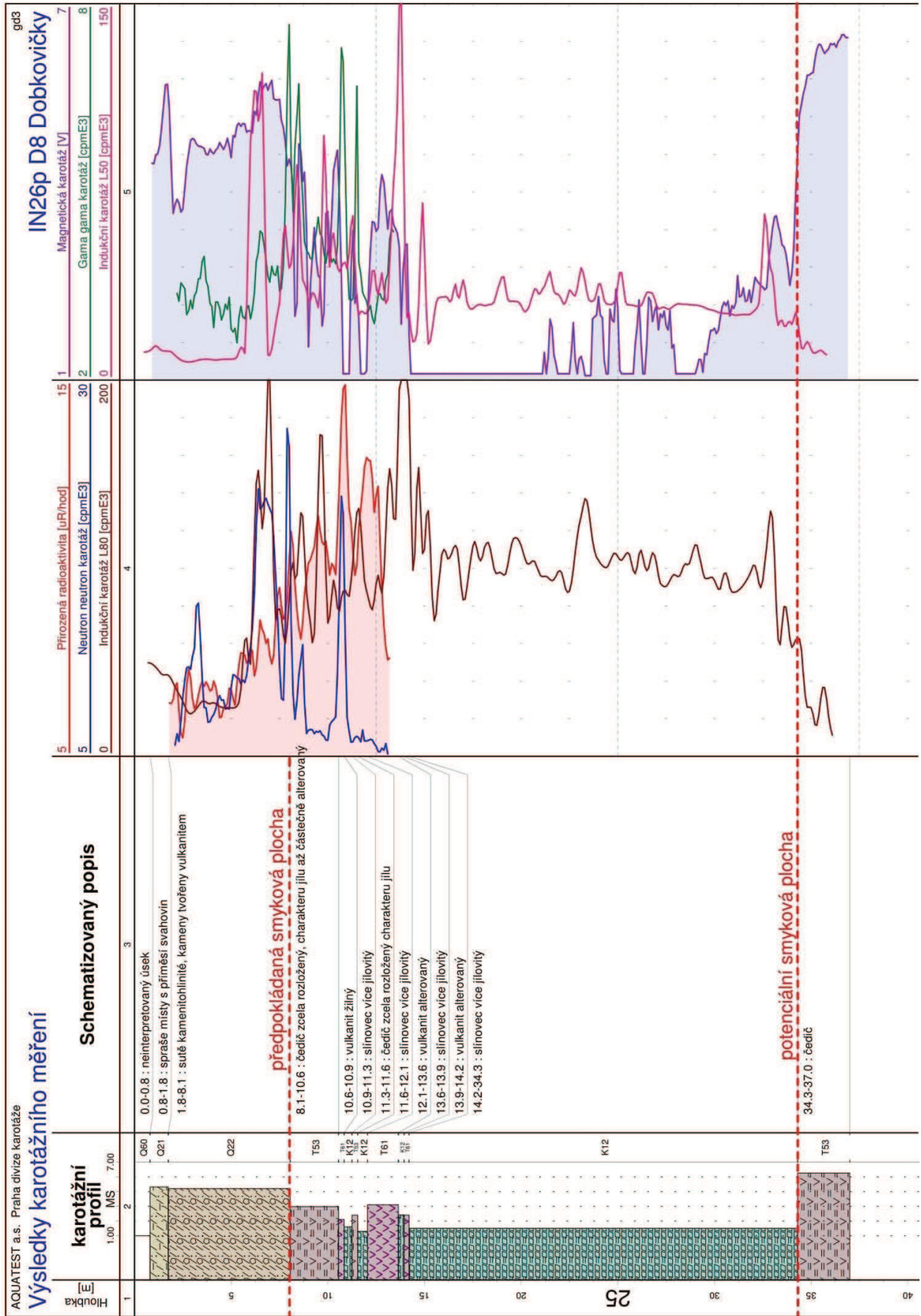


Příloha 12: Výsledky karotážního měření ve vrtu IN24p



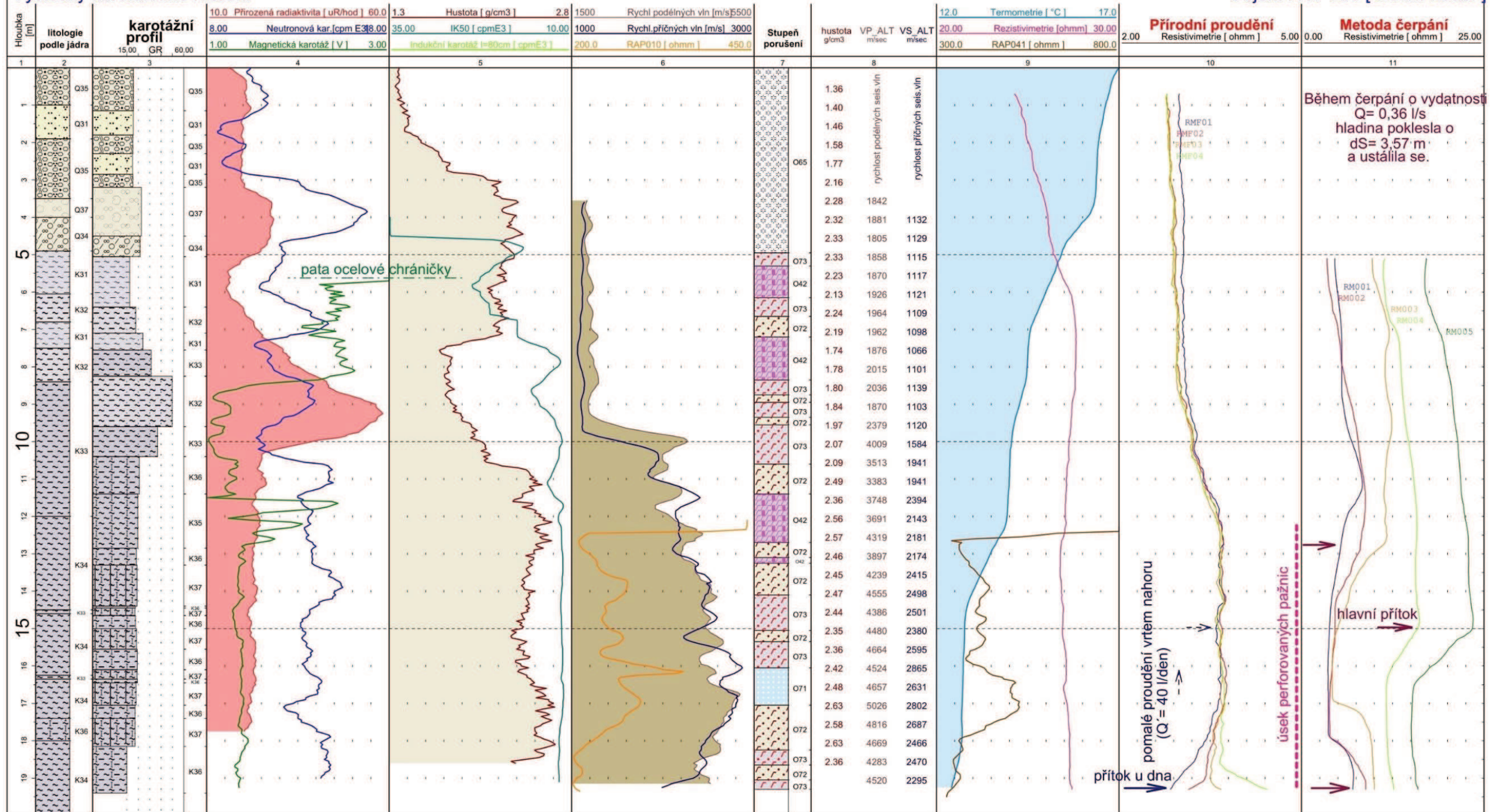


Příloha 13: Výsledky karotážního měření ve vrtu IN25p



Příloha 14: Výsledky karotážního měření ve vrtu IN26p

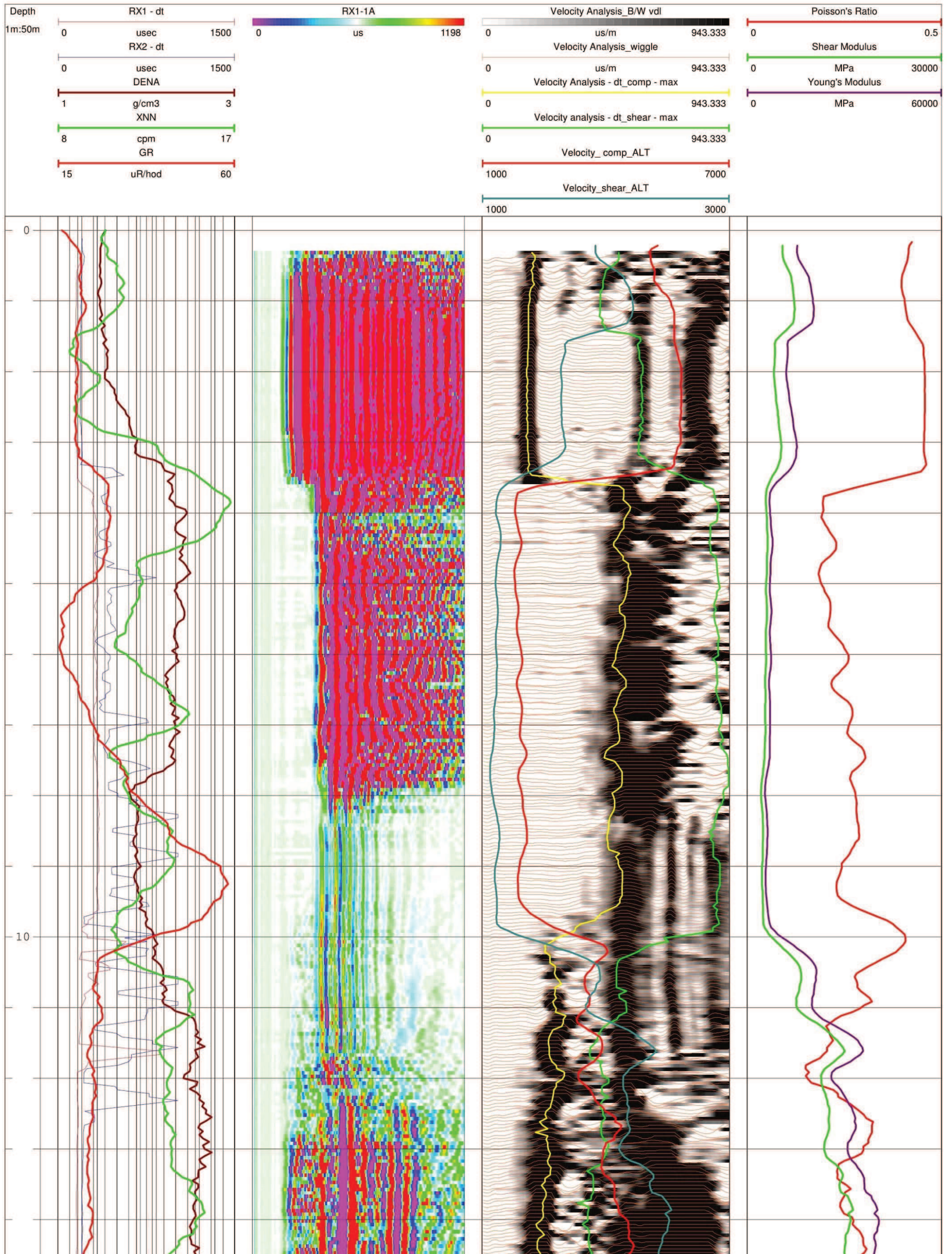




VYSVĚTLIVKY							2. sloupec
Q31 písek	Q34 štěrklinitý	Q35 štěrklivý	Q60 neinterpretovaný úsek	K31 Eluvium fylitické břidlice	K32 Fylitická břidlice zvětralá	K33 Fylitická břidlice navětralá	
K34 Fylitická břidlice slabě navětralá až zdravá	K36 Fylitická břidlice navětralá s vyšším podílem vápnité sl						
VYSVĚTLIVKY							3. sloupec
Q31 písek	Q34 štěrklinitý	Q35 štěrklivý	Q60 neinterpretovaný úsek	K31 Eluvium fylitické břidlice	K32 Fylitická břidlice zvětralá	K33 Fylitická břidlice navětralá	
K35 Fylitická břid. slabě zvětralá s vyšším podílem vápnité sl	K36 Fylitická břidlice navětralá s vyšším podílem vápnité sl	K37 Fylitická břidlice zdravá, vápnitá, tektonicky porušená					
VYSVĚTLIVKY							7. sloupec
O42 Silně rozpukaná hornina	O65 Hornina nezpěvněná	O71 Kompaktní hornina	O72 Hornina slabě rozpukaná	O73 Hornina rozpukaná			

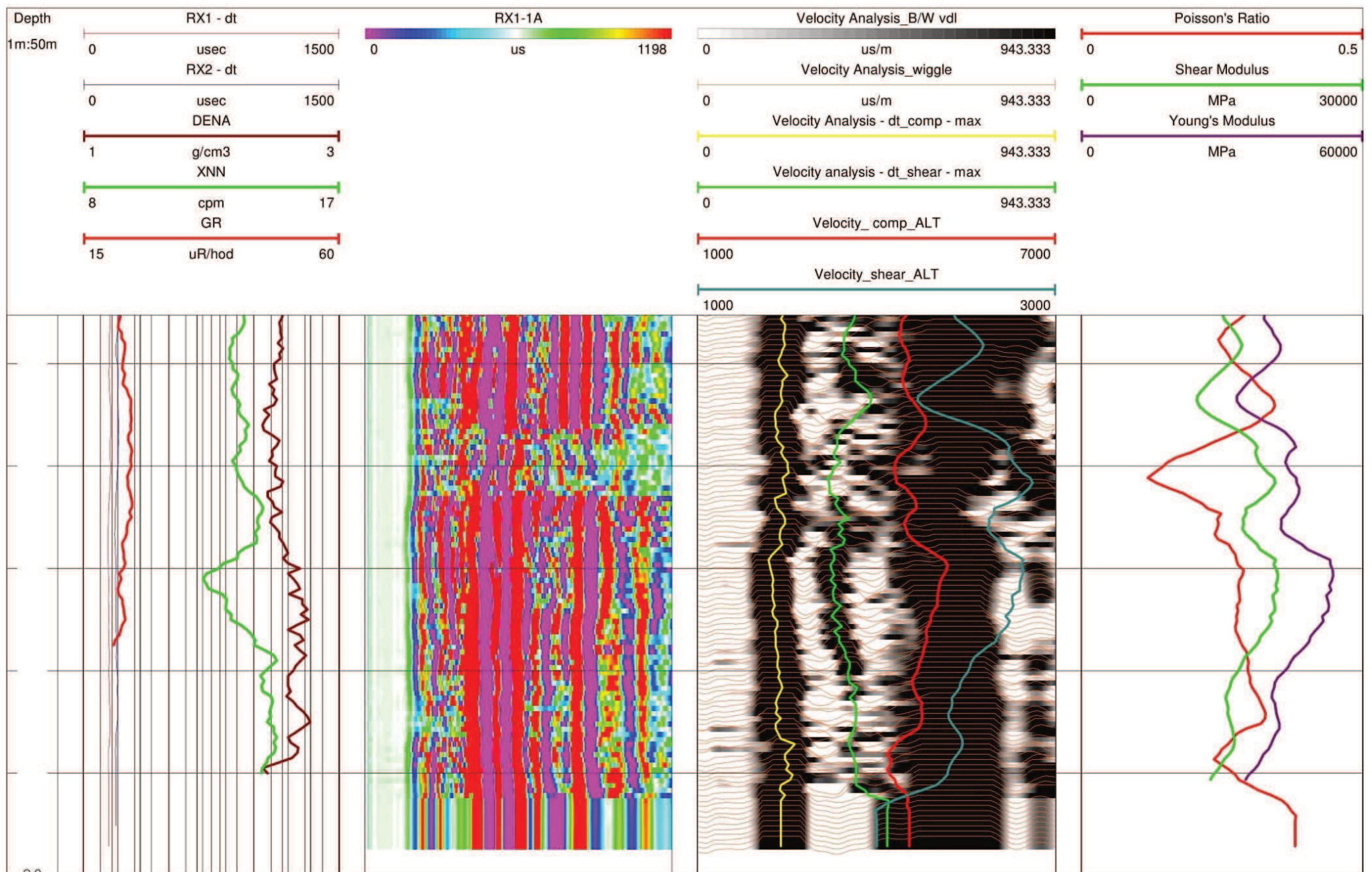
Příloha 15: Výsledky karotážního měření ve vrtu HV-L66





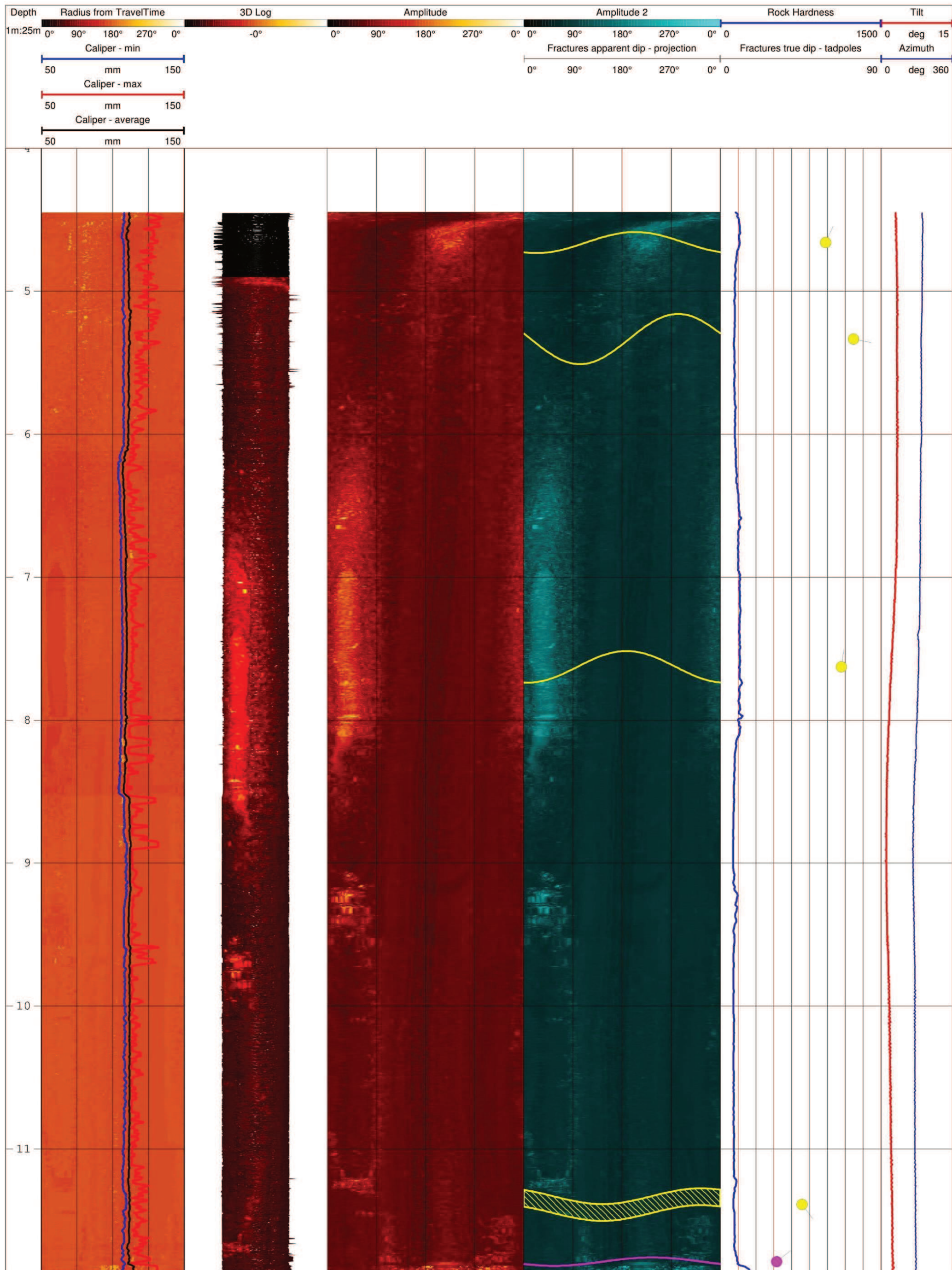
Příloha 16: Výsledky měření vlnové akustické karotáže sondou FWS50 ve vrtu HV-L66. Část 1/2.





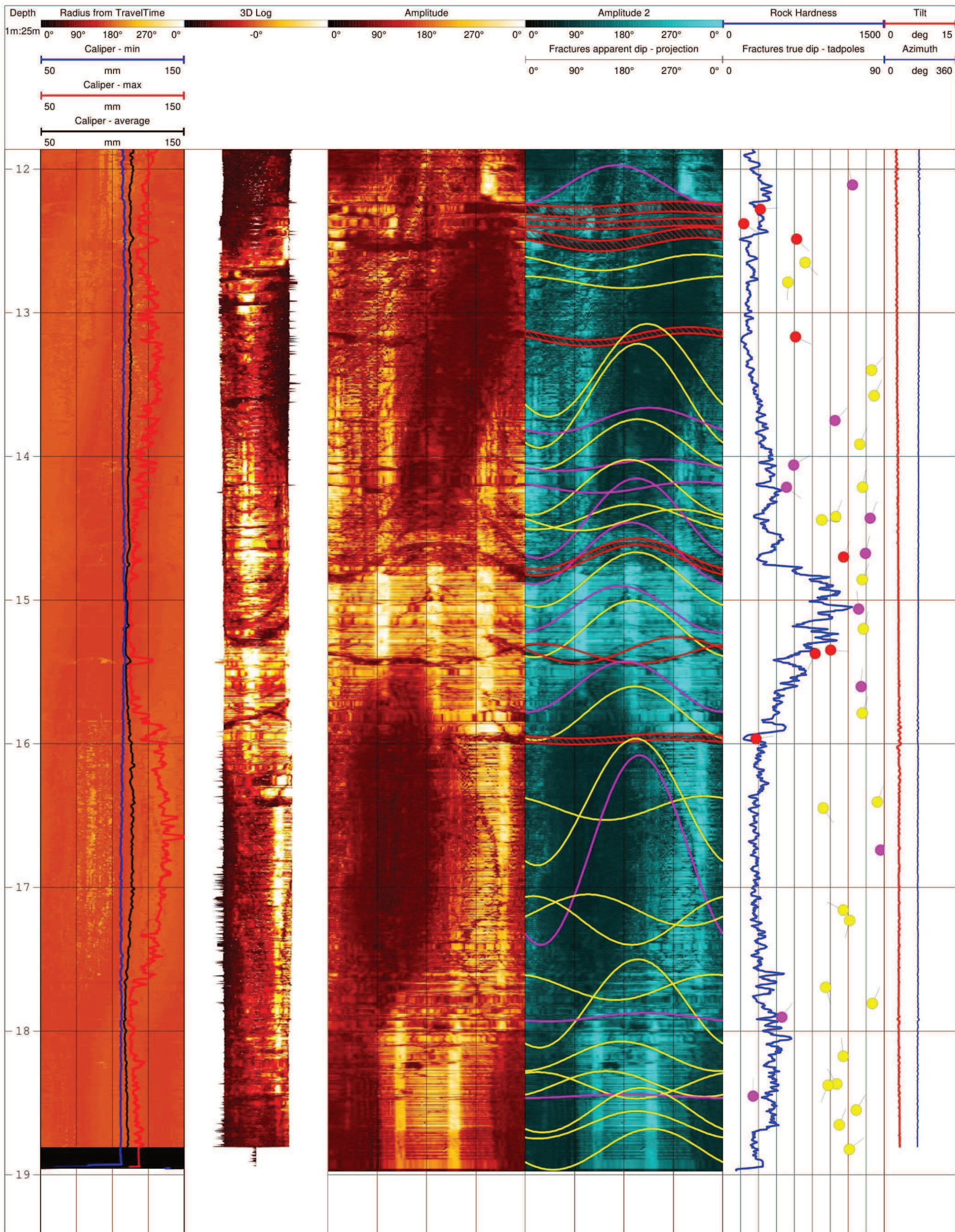
Příloha 16: Výsledky měření vlnové akustické karotáže sondou FWS50 ve vrtu HV-L66. Část 2/2.





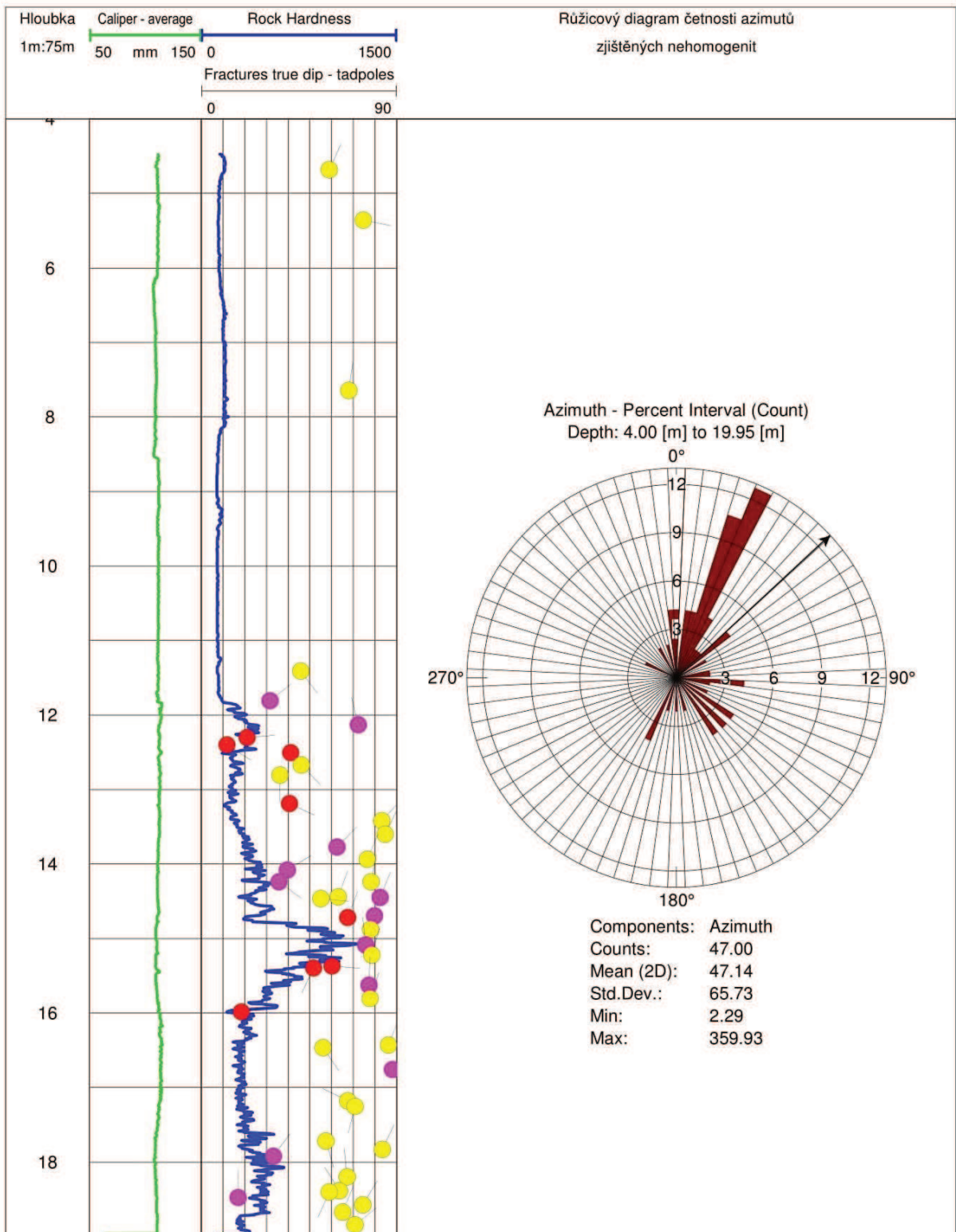
Příloha 17: Výsledky měření akustickým televizorem ABI40 ve vrtu HV-L66. Část 1/2.





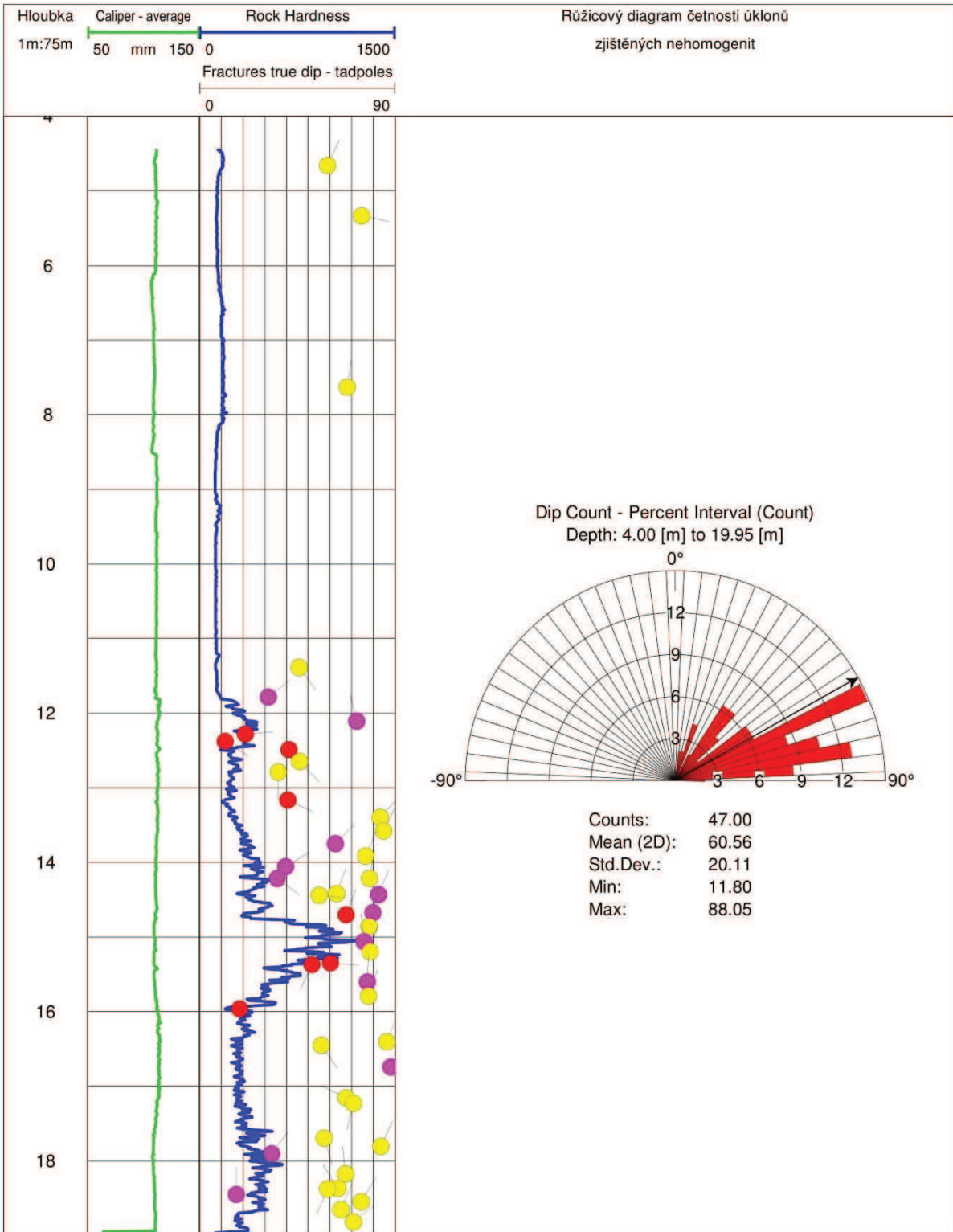
Příloha 17: Výsledky měření akustickým televizorem ABI40 ve vrtu HV-L66. Část 2/2.



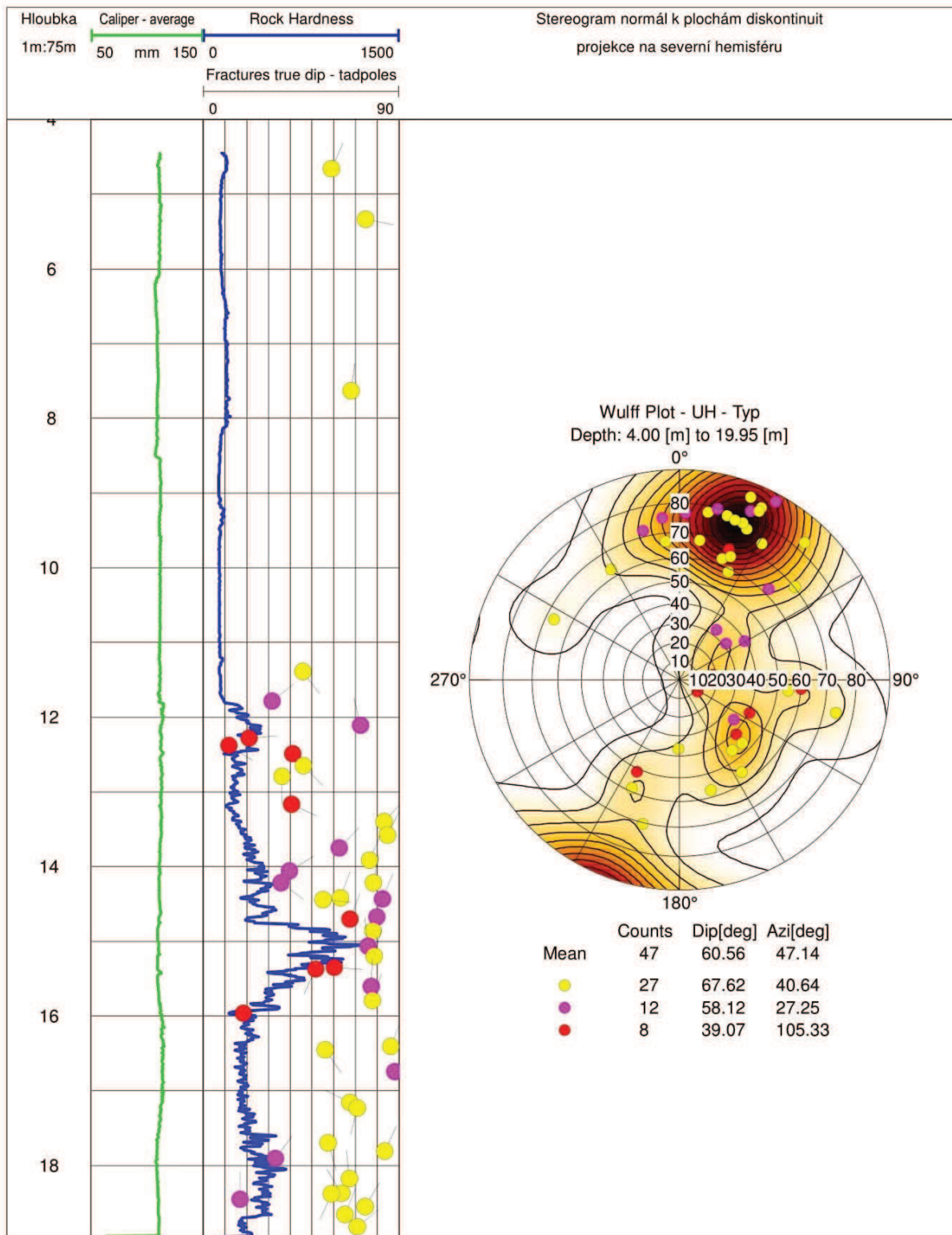


Příloha 18: Četnosti azimutů registrovaných nehomogenit ve vrtu HV-L66





Příloha 19: Četnosti úklonů registrovaných nehomogenit ve vrtu HV-L66



Příloha 20: Stereogram registrovaných nehomogenit ve vrtu HV-L66 zobrazený ve Wulffově projekci



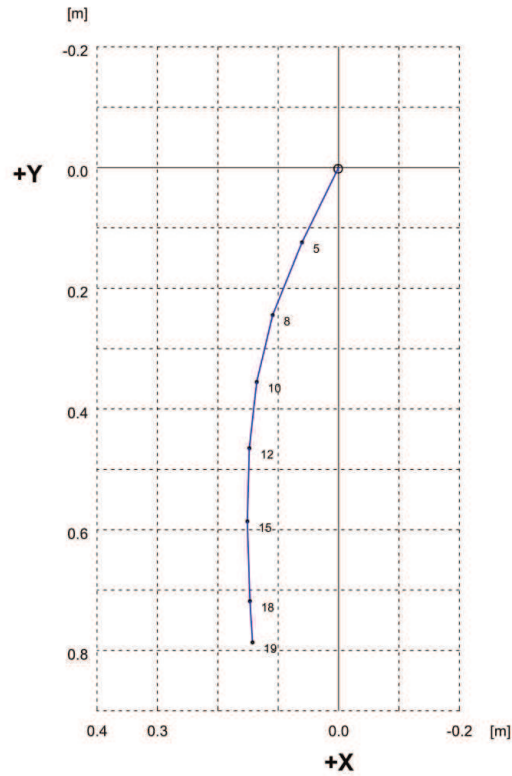
**HORIZONTÁLNÍ PROJEKCE VRTU****Vrt : HV-L66 [ Hřensko ]**

Hloubka [m] - vrtu : 20.0 a paty pažnic : 0.0

Magnetická deklinace [stupně] : 0.00

Konvergence JTSK [stupně] : 7.97

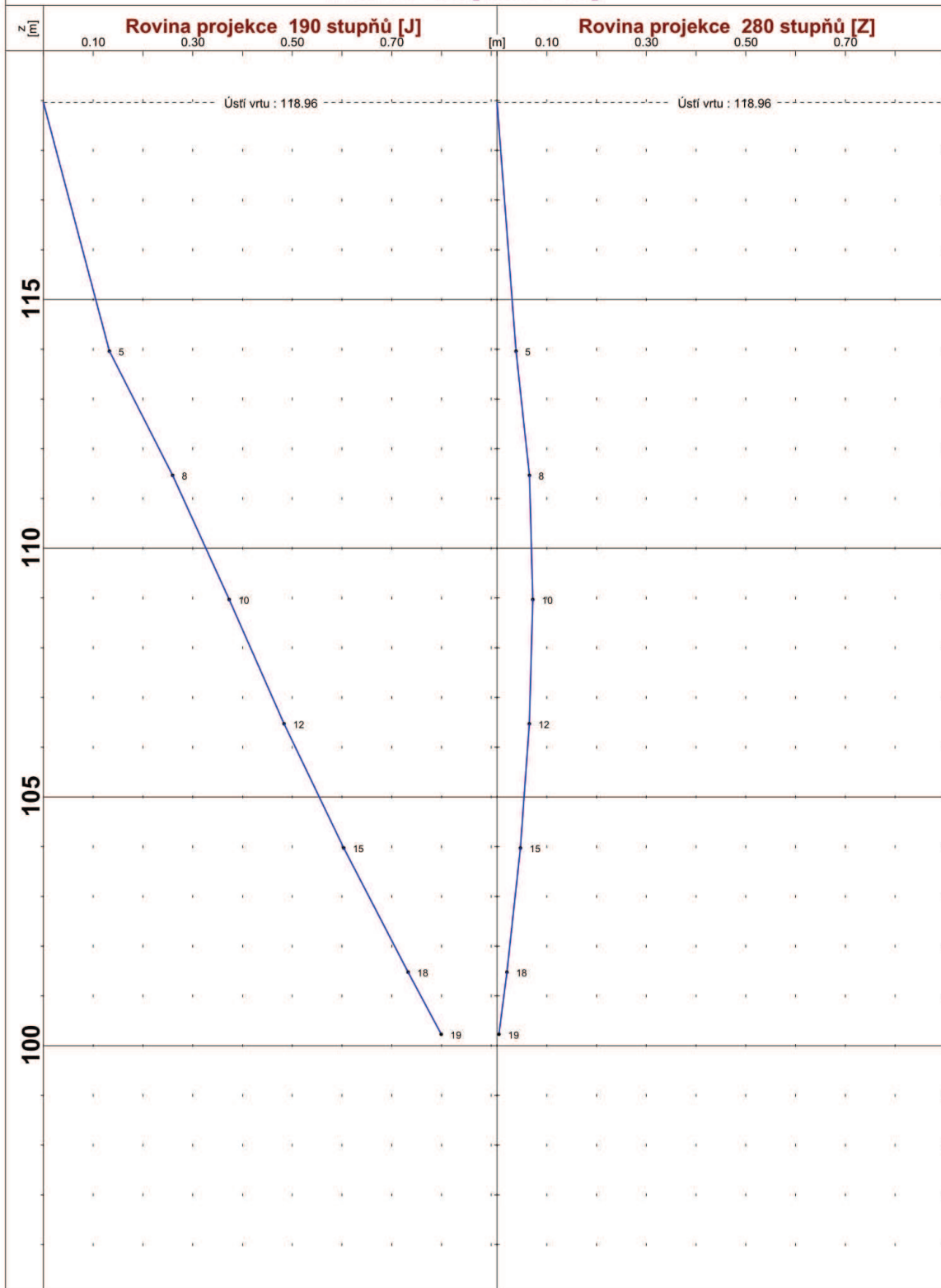
Generální geografický směr vrtu [stupně] : 182.3



0  1 m  
Horizontální měřítko 1 : 10

## VERTIKÁLNÍ PROJEKCE VRTU

### Vrt : HV-L66 [ Hřensko ]



Příloha 22: Výsledky inklinometrického měření ve vrtu HV-L66, vertikální projekce vrtu